Bulletin Samara state agricultural academy. 2025. Vol. 10. № 4

Научная статья УДК 631.331.5

DOI: 10.55170/1997-3225-2025-10-4-81-87

ОБОСНОВАНИЕ ОСНОВНЫХ КОНСТРУКТИВНЫХ ПАРАМЕТРОВ ПЛАНЧАТО-ВОЛНОВОГО КАТКА

Владимир Иванович Курдюмов¹, Вячеслав Евгеньевич Прошкин², Евгений Николаевич Прошкин³, Роман Владимирович Богатский^{4⊠}

- 1, 2, 3, 4 Ульяновский государственный аграрный университет, Ульяновск, Россия
- ¹ bgdie@yandex.ru, https://orcid.org/0000-0003-1603-1779
- ² veproshkin1993@gmail.com, https://orcid.org/0000-0002-0307-3411
- ³ proshkin1921@mail.ru, https://orcid.org/0009-0007-3900-1413
- ⁴ gerald7337@yandex.ru, https://orcid.org/0009-0008-2170-3430

Резюме. В статье представлено теоретическое исследование предлагаемой конструкции планчато-волнового катка, разработанного на основе стандартного планчатого катка, являющеегося составным элементов культиватора «Твист-8», для повышения эффективности предпосевной обработки почвы комбинированным агрегатом. Проведен детальный анализ технических характеристик и конструктивных особенностей катка, включающих новые технические элементы, выполненные в виде перфорированных желобов, расположенных между планками, параллельно оси катка. Представлены математические модели и теоретическое обоснование основных геометрических и силовых параметров катка, влияющих на качество обработки почвы. На основе расчетов установлены оптимальные значения конструктивных параметров: радиус катка может варьироваться от 0,175 м до 0,3 м, минимальное количество ребер не должно быть менее 8, количество отверстий в одном желобе — не менее 26, но не более 32. Также были обоснованы расстояния между желобами и их форма. Выполнен анализ взаимодействия поверхностей рабочих органов катка с почвой, определены условия эффективного разрушения почвенных комков и равномерного уплотнения поверхностного слоя. Проведенные сравнительные исследования показали повышение эффективности работы предлагаемого планчато-волнового катка на 37 % по сравнению со стандартным планчатым катком культиватора «Твист-8», что подтверждается увеличением коэффициента качества прикатывания с 0,686 до 0,94. Предлагаемая конструкция планчато-волнового катка позволяет обеспечить структуру и плотность почвы в соответствии с агротребованиями при минимальных энерго- и ресурсозатратах, предотвращая переуплотнение почвы на глубине заделки семян, гарантируя минимальное количество почвенных комков размером более 50 мм и выровненную поверхность поля.

Ключевые слова: планчато-волновой каток, обработка почвы, уплотнение, агротехническая эффективность, конструктивные параметры, разрушение комков, энергозатраты

Для цитирования: Курдюмов В. И., Прошкин В. Е., Прошкин Е. Н., Богатский Р. В. Обоснование основных конструктивных параметров планчато-волнового катка // Известия Самарской государственной сельскохозяйственной академии. 2025. Т. 10, № 4. С. 81-87. DOI: 10.55170/1997-3225-2025-10-4-81-87

Original article

JUSTIFICATION OF THE MAIN DESIGN PARAMETERS OF SLAT-WAVE ROLLER

Vladimir I. Kurdyumov¹, Vyacheslav E. Proshkin², Evgeniy N. Proshkin³, Roman V. Bogatsky⁴⊠

- 1, 2, 3, 4 Ulyanovsk State Agrarian University, Ulyanovsk, Russia
- ¹ bgdie@yandex.ru, https://orcid.org/0000-0003-1603-1779
- ² veproshkin1993@gmail.com, https://orcid.org/0000-0002-0307-3411
- ³ proshkin1921@mail.ru, https://orcid.org/0009-0007-3900-1413
- ⁴ gerald7337@yandex.ru, https://orcid.org/0009-0008-2170-3430

Abstract. The article presents a theoretical study of the proposed design of a slat-wave roller, developed on the basis of a standard slat roller, which is a component of the Twist-8 cultivator, to improve the efficiency of pre-sowing soil cultivation by a combined unit. A detailed analysis of the technical characteristics and design features of the roller, including new technical elements made in the form of perforated grooves located between the slats, parallel to the roller axis, is carried out. Mathematical models and a theoretical justification for the main geometric and power parameters of the roller, affecting the quality of soil cultivation, are presented. Based on the calculations, optimal values for the design parameters were established: the roller radius can vary from 0.175 m to 0.3 m, the minimum number of ribs should be at least 8, the number of holes in one gutter - not less than 26, but no more than 32. The distances between the gutters and their shape were also justified. An analysis of the interaction between the roller's working surfaces and the soil was conducted, determining the conditions for the effective breakdown of soil clods and uniform compaction of the surface layer. Comparative studies demonstrated a 37% increase in the efficiency of the proposed slat-wave roller compared to the standard slat roller of the Twist-8 cultivator, as evidenced by an increase in the compaction quality factor from 0.686 to 0.94. The proposed slat-wave roller design ensures soil structure and density in accordance with agricultural requirements with minimal energy and resource consumption, preventing soil compaction at the seed placement depth, guaranteeing a minimum number of soil clods larger than 50 mm, and a leveled field surface.

Keywords: slat-wave roller, soil treatment, compaction, agrotechnical efficiency, design parameters, clod destruction, energy consumption

For citation: Kurdyumov, V. I., Proshkin, V. E., Proshkin, E. N. & Bogatsky, R. V. (2025). Justification of the main design parameters slat-wave roller. *Izvestiia Samarskoi gosudarstvennoi selskokhoziaistvennoi akademii (Bulletin Samara State Agricultural Academy*), 10, 4, 81-87. (In Russian). DOI: 10.55170/1997-3225-2025-10-4-81-87

[©] Курдюмов В. И., Прошкин В. Е., Прошкин Е. Н., Богатский Р. В., 2025

Technology, means of mechanization and power equipment in agriculture

Современные технологии обработки почвы требуют повышения эффективности работы сельскохозяйственных орудий при одновременном снижении энергозатрат и обеспечении требуемой структуры и плотности почвы. Одним из перспективных направлений является совершенствование конструкции рабочих органов катков, обеспечивающих качественное уплотнение и разрушение почвенных комков.

Нами предложен планчато-волновой каток, конструктивные особенности которого позволяют добиться более равномерного распределения нагрузки на почву и повышения качества её предпосевной обработки в составе с комбинированным агрегатом «Твист-8».

Актуальность исследования обусловлена необходимостью оптимизации геометрических и силовых параметров планчато-волнового катка с целью повышения его агротехнической эффективности. От правильного выбора радиуса катка, количества ребер, и характера взаимодействия с почвой напрямую зависит качество уплотнения, степень разрушения комков, а также предотвращение переуплотнения почвы на глубине заделки семян.

Цель исследований: выполнить теоретическое обоснование основных конструктивных параметров планчато-волнового катка.

Задачи исследований: определить основные конструктивные параметры планчато-волнового катка, оказывающие непосредственное влияние на качество поверхностной обработки почвы, такие как форма желоба, расстояние между соседними желобами, количество ребер (планок), и давление, оказываемое рабочей поверхностью катка на почву.

Материал и методы исследований. Культиватор «Твист-8» (рис. 1), который представляет собой современное сельскохозяйственное орудие, предназначенное для выполнения широкого спектра агротехнических операций, таких как рыхление почвы, уничтожение сорняков, подготовка почвы к посеву и уход за посевами, содержит планчатые катки, основная задача которых — разрушение крупных комков почвы. Данная модель культиватора разработана с учетом актуальных требований сельского хозяйства, в котором ключевое значение имеют: повышение производительности труда, снижение энергозатрат и минимизация негативного воздействия на окружающую среду.

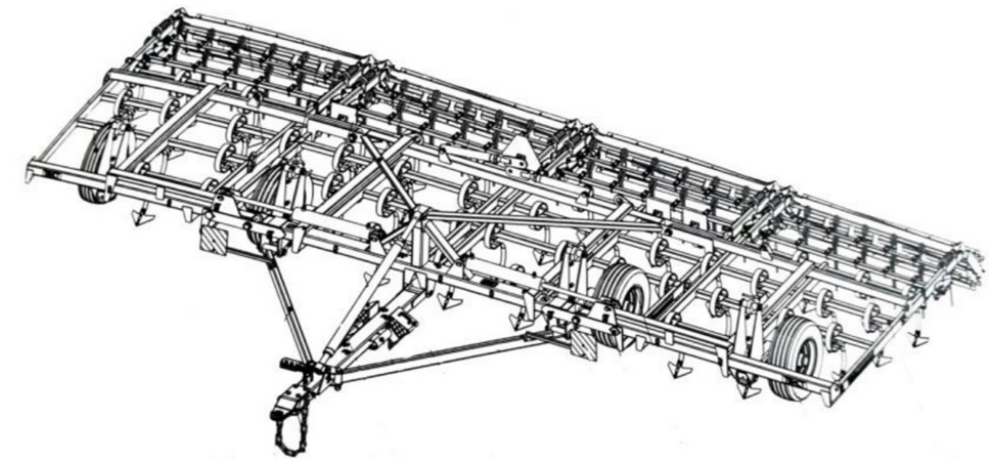


Рис. 1. Культиватор «Твист-8»

Несмотря на значительные преимущества культиватора «Твист-8», а именно, его универсальность, высокая производительность и адаптивность к различным типам почв, катки, входящие в его состав, не обеспечивают требуемого качества прикатывания вследствие несовершенства своей конструкции. Расстояние между планками в разы превышает максимально допускаемый по агротехническим требованиям размер комка почвы, что не дает возможности обеспечить требуемую структуру почвы. Также, из-за того, что планки катков в поперечном сечении представляют собой прямоугольник, только узкая сторона которого непосредственно входит в контакт с почвой, это не позволяет уплотнить почву до требуемых значений [1, 2]. Следовательно, совершенствование конструкции катка культиватора, позволяющее привести показатели его работы в соответствие с агротребованиями к прикатыванию почвы, является актуальной и важной задачей.

Результаты исследований. Приняв во внимание сказанное выше, нами предложена новая конструкция планчатоволнового катка, учитывающая недостатки катка культиватора «Твист-8» и выполненная с использованием основных конструктивных элементов серийного катка. При этом предлагаемый каток был оснащен дополнительными уплотняющими элементами, которые выполнены в виде расположенных параллельно оси катка перфорированных желобов. Перфорация желобов необходима для разрушения крупных почвенных комков, в том числе повышенной твердости, при этом радиус отверстий приняли не превышающим половины допускаемого агротребованиями размера почвенного комка [3].

Выполним обоснование конструктивных параметров желобов планчато-волнового катка.

Отверстия в желобах выполнены в шахматном порядке (рисунок 2), а их количество можно рассчитать по следующей формуле:

$$n_{ome} = \frac{Bk}{r_{ome}},\tag{1}$$

где B – ширина катка, мм; r_{ome} – радиус отверстия, мм; k – коэффициент прочности.

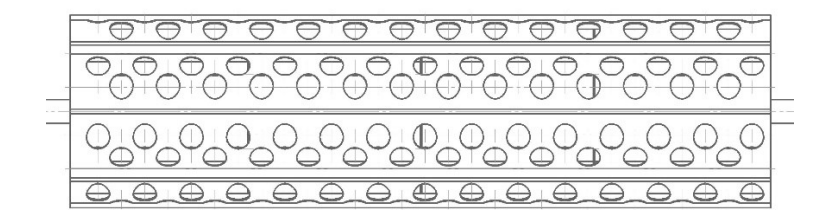


Рис. 2. Схема расположения отверстий в желобах

При таком расположении отверстий и ширине катка 2 м, их количество на одном желобе может варьироваться от 26 до 32. При взаимодействии жёлоба с почвой в ней формируется углубление по дуге XY (рисунок 3), образованное непосредственно формой уплотняющего элемента (жёлоба). Его высота:

$$h_{\kappa} = R \cdot \sin \alpha \cdot tg\beta \,, \tag{2}$$

где R – радиус изгиба желоба, м; α – угол, с вершиной на оси катка, расположенный между центром желоба и его крайней точкой, град.; β – угол распределения давления в почве, отсчитываемый от крайней точки желоба, град.

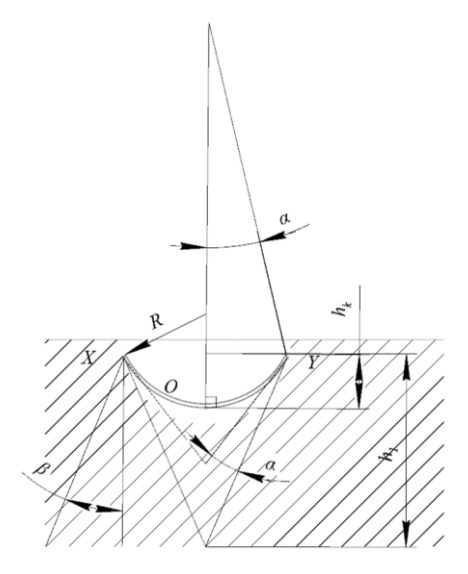


Рис. 3. Схема взаимодействия желоба с почвой

При увеличении ширины желоба глубина уплотнения становится меньше, так как с увеличением ширины рабочей поверхности при одинаковой длине желоба снижается давление при одной и той же массе катка, следовательно, снижается и глубина уплотнения катком почвы [4].

Максимальная плотность почвы в зоне уплотнения жёлобом достигается при его внедрении на глубину, равную его высоте (высоте сегмента трубы, из которой выполнены желоба). Дальнейшее заглубление желоба ведет лишь к увеличению глубины распространения уплотнения, что вызовет переуплотнение почвы на глубине заделки семян.

Глубина зоны распространения уплотняющего воздействия катка

$$h_1 = R \cdot \cos \alpha + (\frac{L}{2} - R \cdot \sin \alpha) \cdot ctg\beta, \qquad (3)$$

где L – расстояние между центрами соседних желобов, м.

Выразим из формулы 3 расстояние между центрами соседних желобов:

$$L = \frac{2(h_1 - R \cdot \cos \alpha + R \cdot \sin \alpha \cdot ctg \beta)}{ctg \beta}.$$
 (4)

Для определения расстояния R_k , на которое удалены центры желобов относительно центральной оси катка (радиуса катка) рассмотрим случай, когда в почву внедряется только один жёлоб и глубина его погружения равна высоте желоба h_k . На рисунке 4 представлена схема к определению расстояние между желобами.

Technology, means of mechanization and power equipment in agriculture

$$L^2 = 2R_{\nu}^2 - 2R_{\nu}^2 \cos 2\gamma \,, \tag{5}$$

где γ – угол между касательной к центру желоба A и линией AB, соединяющей центры соседних желобов, град.

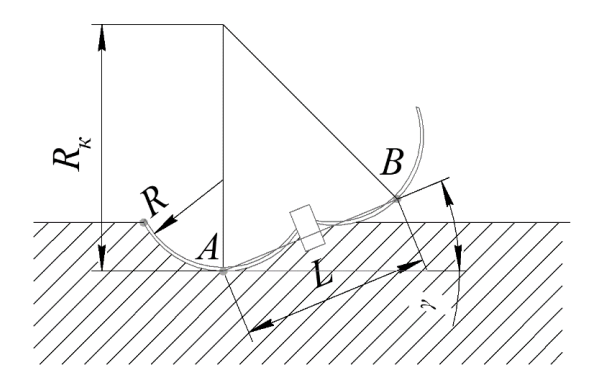


Рис. 4. К определению расстояния между центральной осью катка и центрами желобов

Зная, что $\cos 2\gamma = 1 - 2\sin^2 \gamma$, после преобразований уравнения (5) получим:

$$R_k = \frac{L^2}{2R} \,. \tag{6}$$

Следовательно, с учетом размеров основных конструктивных элементов катка культиватора «Твист-8», радиус планчато-волнового катка может варьироваться от 0,175 м до 0,3 м.

Выполним обоснование конструктивных параметров ребер планчато-волнового катка.

Для определения степени заглубления катка в почву необходимо определить угол защемления почвенного комка, при котором произойдет его качественное разрушение. Для выполнения поставленного условия угол защемления комков *т* должен быть меньше суммы внешнего и внутреннего углов трения, т.е.

$$\tau < \sigma_1 + \sigma_2, \tag{7}$$

где 6_1 и 6_2 – соответственно углы трения комков о рабочую поверхность катка и о почву, град.

Рассмотрим случай, когда на пути планчато-волнового катка встречается почвенный комок круглой формы (рис. 5), тогда оптимальное заглубление катка в почву

$$h_{x\alpha z} = R_k - R_k \cos \tau - r_k (1 + \cos \tau), \tag{8}$$

где R_k – радиус катка, м; r_k – радиус комка, м.

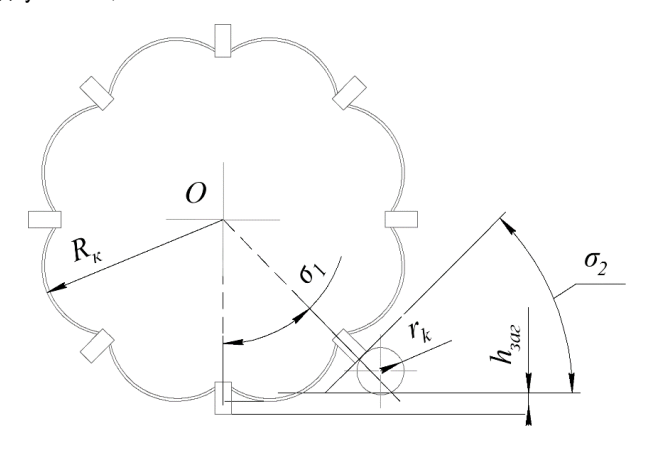


Рис. 5. К определению радиуса планчато-волнового катка

Отсюда с учетом формулы 7, величина заглубления катка в почву будет определяться следующим образом:

$$h_{3a2} < R_k (1 - \cos(\sigma_1 + \sigma_2)) - r_k (1 + \cos(\sigma_1 + \sigma_2)).$$
 (9)

Bulletin Samara state agricultural academy. 2025. Vol. 10. № 4

Количество ребер катка *п* определим из условия, что в процессе работы как минимум одна планка должна находиться в контакте с почвой:

$$n \ge \frac{360}{\arccos((R_k - h_{33\Gamma})/R_k)}. (10)$$

Проанализировав представленные выше формулы, можно заключить, что количество ребер катка зависит от радиуса катка и величины его заглубления в почву. Далее, путем вычислений с использованием программного пакета MatchCad, нами было установлено, что количество ребер должно быть не менее 8 [5-10].

Одними из основных факторов, оказывающих непосредственное влияние на качество поверхностной обработки почвы разработанным планчато-волновым катком, являются условия взаимодействия рабочей поверхности с почвой и оказываемое ей давление на почву (рис. 6) [11].

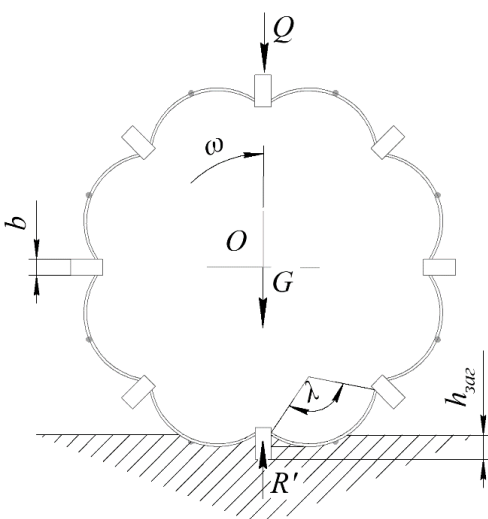


Рис. 6. К определению давления, оказываемого на почву ребром катка

Площадь рабочей поверхности желоба

$$S_{\infty} = \pi \cdot (\frac{\lambda}{360^{\circ}} 2RB - n_{ome} r_{ome}^2), \tag{11}$$

где λ – угол желоба, град.

Взяв во внимание, что при работе катка с почвой взаимодействует лишь половина каждого из соседних желобов и планка между ними, нами было принято, что суммарное пятно контакта

$$S_{\kappa} = S_{\mathcal{H}} + Bb , \qquad (12)$$

где b — ширина ребра, мм.

Давление на почву, оказываемое рабочей поверхностью катка, можно определить по формуле [12, 13, 14]:

$$P = G + Q = R' = q_{cM} \cdot h_{aaa} \cdot (S_{wc} + B \cdot b), \tag{13}$$

где G – сила тяжести катка, H; Q – дополнительная вертикальная нагрузка, H; R' – реакция почвы, H; $q_{\text{см}}$ – коэффициент объемного смятия почвы (от 1...2 H/см³ для свежевспаханной почвы).

Проведенные сравнительные исследования планчато-волнового катка с принятыми конструктивными параметрами показали, что его качество работы лучше, чем у серийного катка культиватора «Твист-8». Так, коэффициент качества прикатывания k_{co} , оценивающий соответствие плотности и структуры почвы агротехническим требованиям, у предлагаемого планчато-волнового катка составляет 0,94, а у серийного катка – 0,686 [15].

Заключение. Полученные в рамках теоретического исследования конструкции планчато-волнового катка зависимости позволяют определить геометрические характеристики желобов, оптимальное расстояние между ними, радиус катка, а также глубину смятия почвы и количество ребер в зависимости от условий работы катка и свойств почвы.

В результате расчетов выявлено, что радиус планчато-волнового катка должен варьироваться в пределах от 0,175 м до 0,3 м при наличии в конструкции не менее 8 ребер, желоба поперечном сечении должны представлять собой сегменты, а количество отверстий в перфорированном желобе должно колебаться от 26 до 32.

Проведенные сравнительные исследования планчато-волнового катка с принятыми конструктивными параметрами доказали, что эффективность его работы на 37 % выше по сравнению с серийным катком культиватора «Твист-8» при её оценке по коэффициенту качества прикатывания. Technology, means of mechanization and power equipment in agriculture

Список источников

- 1. Чаткин М. Н., Федоров С. Е., Жалнин А. А. Определение параметров механизма регулирования катка комбинированного культиватора для дифференцированной обработки почвы // Вестник Рязанского государственного агротехнологического университета. 2023. Т. 15. № 3. С. 163-169. DOI: 10.36508/RSATU.2023.75.18.021 EDN: ZZRSMD
- 2. Дальский, Н. Как выбрать прикатывающий каток для комбинированного агрегата? // Наше сельское хозяйство. 2023. № 9 (305). C. 24-28. EDN: DCIXQW
- 3. Патент на полезную модель № 221487 U1 Российская Федерация, МПК A01B 29/04, A01B 29/00. почвообрабатывающий каток: № 2023113947: заявл. 26.05.2023: опубл. 09.11.2023 / В.И. Курдюмов, В.Е. Прошкин, И.А. Биц; заявитель Федеральное государственное бюджетное образовательное учреждение высшего образования «Ульяновский государственный аграрный университет имени П.А. Столыпина». EDN: GQZVUP
- 4. Раднаев Д. Н., Калашников С. С., Бадмацыренов Д. Ц. Б., Дамбаева Б. Е. Обоснование рациональных параметров прикатывающего катка комбинированного сошника при посеве зерновых культур // Дальневосточный аграрный вестник. 2022. № 2 (62). С. 158-167. DOI: 10.22450/19996837 2022 2 158 EDN: ZCTFFM
 - 5. Широкозахватные винтовые катки для прикатывания посевов // АгроСнабФорум. 2015. № 1-2 (131). С. 40.
- 6. Кузьминых, А.Н. Система предпосевной обработки почвы и урожайность ярового ячменя // Вестник Марийского государственного университета. Серия: Сельскохозяйственные науки. Экономические науки. 2020. Т. 6. № 1 (21). С. 32-39. DOI: 10.30914/2411-9687-2020-6-1-32-38 EDN: ZBYHQK
- 7. Камбулов С. И. Пархоменко Г. Г., Семенихина Ю. А., Божко И. В. Использование мульчирующих катков в конструкции комбинированных почвообрабатывающих агрегатов // Таврический вестник аграрной науки. 2020. № 3 (23). С. 113-121. DOI: 10.33952/2542-0720-2020-3-23-113-121 EDN: VPMXAP
- 8. Петровец, В. Р. & Гайдуков, В. А. (2020). Влияние прикатывающих катков сошников на плотность почвы семенного ложа // Конструирование, использование и надежность машин сельскохозяйственного назначения. 2022. № 1 (21). С. 5-9. EDN: JDNWYF
- 9. Прошкин В. Е. Курдюмов В. И., Прошкин Е. Н., Богатский Р. В. Исследования пружинно-волнового катка в полевых условиях // Вестник Ульяновской государственной сельскохозяйственной академии. 2023. № 3 (63). С. 224-229. DOI: 10.18286/1816-4501-2023-3-224-229 EDN: WOEWJZ
- 10. Прошкин В. Е., Курдюмов В. И., Шаронов И. А., Яковлев С. А. Результаты полевых исследований прутково-дискового катка // Вестник Ульяновской государственной сельскохозяйственной академии. 2023. № 4 (64). С. 229-234. DOI: 10.18286/1816-4501-2023-4-229-234 EDN: CPKVLZ
- 11. Семенихина Ю. А. Исследование вязкоупругого состояния почвы под воздействием активной поверхности почвообрабатывающего катка // Тракторы и сельхозмашины. 2017. № 7. С. 32-36. DOI: 10.17816/0321-4443-66333 EDN: ZDNIJB
- 12. Петроченко Н. О. Сохрани почвенную влагу сегодня получи богатый урожай завтра! // Наше сельское хозяйство. 2023. № 5 (301). С. 4-14. EDN: SHZMUC
- 13. Петров М. В. Изменение агрофизических свойств почвы в зависимости от основной обработки почвы в различных типах агроландшафта Ульяновской области // Известия Самарского научного центра Российской академии наук. Сельскохозяйственные науки. 2022. Т. 1. № 2 (2). С. 67-70. DOI: 10.37313/2782-6562-2022-1-2-67-70 EDN: VFQECG
- 14. Линков С. А., Ширяев А. В., Акинчин А. В., Кузнецова Л. Н., Морозова Т. С. Оценка состояния водно-физических свойств на участках с различными системами обработки почвы // Инновации в АПК: проблемы и перспективы. 2023. № 4 (40). С. 117-124. EDN: UHWGLM
- 15. Прошкин В. Е., Курдюмов В. И., Прошкин, Е. Н., Курушин, В. В., Богатский, Р. В. Анализ результатов полевых исследований пружинно-волнового катка // Тракторы и сельхозмашины. 2023. Т. 90. № 5. С. 405-412. DOI: 10.17816/0321-4443-567933 EDN: KQOJIF

References

- 1. Chatkin, M. N., Fedorov, S. E. & Zhalnin, A. A. (2023). Determination of the parameters of the control mechanism of the roller of a combined cultivator for differentiated tillage. *Bulletin of the Ryazan State Agrotechnological University*. 15. 3. 163-169. (In Russian). DOI: 10.36508/RSATU.2023.75.18.021 EDN: ZZRSMD
 - 2. Dalsky, N. (2023). How to choose a rolling roller for a combined unit? Our agriculture. 9 (305). 24-28. (In Russian). EDN: DCIXQW
- 3. Utility Model Patent No. 221487 U1 Russian Federation, IPC A01B 29/04, A01B 29/00. tillage roller: No. 2023113947: application 05/26/2023: published 11/19/2023 / V. I. Kurdyumov, V. E. Proshkin, I. A. Bit; applicant Federal State Budgetary Educational Institution of Higher Education "Ulyanovsk State University P.A. Stolypin Agrarian University". (In Russian). EDN: GQZVUP
- 4. Radnaev, D. N., Kalashnikov, S. S., Badmatsyrenov, D. Ts. B., & Dambaeva, B. E. (2022). Justification of rational parameters of the rolling roller of the combined coulter when sowing grain crops. Far Eastern Agrarian Bulletin, (2 (62)), 158-167. (In Russian). DOI: 10.22450/19996837_2022_2_158 EDN: ZCTFFM
 - 5. Wide-reach screw rollers for rolling crops. AgroSnabForum. (2015). 1-2 (131). 40. (In Russian).
- 6. Kuzminykh, A. N. (2020). The system of pre-sowing tillage and the yield of spring barley. *Bulletin of the Mari State University. Series: Agricultural sciences. Economic sciences.* 6. 1 (21). 32-39. (In Russian). DOI: 10.30914/2411-9687-2020-6-1-32-38 EDN: ZBYHQK
- 7. Kambulov, S. I., Parkhomenko, G. G., Śemenikhina, Yu. A. & Bozhko, I. V. (2020). The use of mulching rollers in the construction of combined tillage units. *Tavrichesky Bulletin of Agrarian Science*. 3 (23). 113-121. (In Russian). DOI: 10.33952/2542-0720-2020-3-23-113-121 EDN: VPMXAP
- 8. Petrovets, V. R. & Gaidukov, V. A. (2022). The influence of rolling coulter rollers on the density of the soil of the seedbed. *Design, use and reliability of agricultural machinery*. 1 (21). 5-9. (In Russian). EDN: JDNWYF
- 9. Proshkin, V. E., Kurdyumov, V. I., Proshkin, E. N. & Bogatsky, R. V. (2023). Research of a spring-wave roller in the field. *Bulletin of the Ulyanovsk State Agricultural Academy*. 2023. No. 3 (63). Pp. 224-229. (In Russian). DOI: 10.18286/1816-4501-2023-3-224-229 EDN: WOEWJZ
- 10. Proshkin V. E., Kurdyumov, V. I., Proshkin, E. N., Kurushin, V. V. & Bogatsky, R. V. (2023). Analysis of the results of field studies of a spring-wave roller. *Tractors and agricultural machinery*. 90. 5. 405-412. (In Russian). DOI: 10.18286/1816-4501-2023-4-229-234 EDN: CPKVLZ
- 11. Semenikhina, Yu. A. (2017). Investigation of the viscoelastic state of the soil under the influence of the active surface of a tillage roller. Tractors and agricultural machinery. 7. 32-36. (In Russian). DOI: 10.17816/0321-4443-66333 EDN: ZDNIJB
 - 12. Petrochenko, N. O. (2023). Save soil moisture today get a rich harvest! Our agriculture. 5 (301). 4-14. (In Russian). EDN: SHZMUC

Bulletin Samara state agricultural academy. 2025. Vol. 10. № 4

- 13. Petrov, M. V. (2022). Changes in the agrophysical properties of the soil depending on the main tillage in various types of agricultural landscape of the Ulyanovsk region. *Proceedings of the Samara Scientific Center of the Russian Academy of Sciences. Agricultural sciences.* 1. 2 (2). 67-70. (In Russian). DOI: 10.37313/2782-6562-2022-1-2-67-70 EDN: VFQECG
- 14. Linkov, S. A., Shiryaev, A. V., Akinchin, A. V., Kuznetsova, L. N. & Morozova, T. S. (2023). Assessment of the state of water-physical properties in areas with different tillage systems. *Innovations in agriculture: problems and prospects*. 4 (40). 117-124. (In Russian). EDN: UHWGLM
- 15. Proshkin, V. E., Kurdyumov, V. I., Proshkin, E. N., Kurushin, V. V., & Bogatsky, R. V. (2023). Analysis of the results of field studies of a spring-wave roller. *Tractors and Agricultural Machinery*, 90(5), 405. (In Russian). DOI: 10.17816/0321-4443-567933 EDN: KQOJIF

Информация об авторах:

- В. И. Курдюмов доктор технических наук, профессор;
- В. Е. Прошкин кандидат технических наук, доцент;
- Е. Н. Прошкин кандидат технических наук, доцент;
- Р. В. Богатский студент.

Information about the authors:

- V. I. Kurdyumov Doctor of Technical Sciences, Professor;
- V. E. Proshkin Candidate of Technical Sciences, Associate Professor;
- E. N. Proshkin Candidate of Technical Sciences, Associate Professor;
- R. V. Bogatsky Student.

Вклад авторов: все авторы сделали эквивалентный вклад в подготовку публикации. Авторы заявляют об отсутствии конфликта интересов.

The contribution of the authors: the authors contributed to this article. The authors declare no conflict of interests.

Статья поступила в редакцию 16.05.2025; одобрена после рецензирования 30.09.2025; принята к публикации 15.10.2025. The article was submitted 16.05.2025; approved after reviewing 30.09.2025; accepted for publication 15.10.2025.